

モデル材料を用いた凝固過程における 介在物生成挙動のその場観察

In-situ Observation of Inclusion Formation Behaviors
during Solidification Process Using Model Alloy

川西 咲子*  · 塚原 優希 · 寺島 慎吾 · 中尾 温斗 · 助永 壮平  · 柴田 浩幸 

Sakiko KAWANISHI*, Yuki TSUKAHARA, Shingo TERASHIMA, Haruto NAKAO, Sohei SUKENAGA and Hiroyuki SHIBATA

* Corresponding author. E-mail: kawanishi.sakiko.6h@kyoto-u.ac.jp

Received date: Nov. 5, 2024

Accepted date: Dec. 11, 2024

Advance published date: Dec. 18, 2024

DOI: <https://doi.org/10.2355/tetsutohagane.TETSU-2024-120>

Please cite this article as:

S. Kawanishi, Y. Tsukahara, S. Terashima, H. Nakao, S. Sukenaga and H. Shibata: *Tetsu-to-Hagané*, (2024), (in Japanese). <https://doi.org/10.2355/tetsutohagane.TETSU-2024-120>



© 2024 The Iron and Steel Institute of Japan. This is an open access article under the terms of the Creative Commons Attribution license (<https://creativecommons.org/licenses/by/4.0/>).

「鉄と鋼」投稿申請書（原稿「タイトルページ」）

*ご記入にあたって： ○の付いた選択肢は、一つ選び、「●」として下さい。

記入日	2024/11/2				
投稿論文の題目 (日本語)	モデル材料を用いた凝固過程における介在物生成挙動のその場観察				
投稿論文の題目 (英語)	In-situ observation of inclusion formation behaviors during solidification process using model alloy				
原稿種類	<input checked="" type="radio"/> 論文 <input type="radio"/> レビュー <input type="radio"/> 速報論文 <input type="radio"/> 寄書 <input type="radio"/> 技術報告				
ISIJ International からの転載について	<input type="radio"/> 転載である (Vol.____, No.____, pp.____ - ____) <input checked="" type="radio"/> 転載ではない				
No.	著者の名前(全員) ※和・英	会員 番号	ORCID iD 注1	所属 ※和・英	E-Mail
記 入 例	山田 太郎	2023 0001	0000- 0002- 6135- 9194	鉄鋼大学大学院科学技術学部応用科学専攻	yamada@tetsud ai.ac.jp
	Tarou YAMADA			Department of Engineering and Applied Sciences, Faculty of Science and Technology, University of Tekko	
A1	川西 咲子	2008 0051	0000- 0002- 3719- 3788	京都大学大学院エネルギー科学研究科エネルギー 応用科学専攻	kawanishi.sakik o.6h@kyoto- u.ac.jp
	Sakiko KAWANISHI			Department of Energy Science and Technology, Graduate School of Energy Science, Kyoto University	
A2	塚原 優希			東北大学大学院工学研究科 (現: AGC 株式会社)	yuki.tsukahara @agc.com
	Yuki TSUKAHARA			Department of Metallurgy, Graduate School of Engineering, Tohoku University (Currently AGC Inc.)	
A3	寺島 慎吾			東北大学大学院工学研究科 (現: 日本製鉄株式会社)	terashima.gf6.s hingo@jp.nipp onsteel.com
	Shingo TERASHIMA			Department of Metallurgy, Graduate School of Engineering, Tohoku University (Currently: Nippon Steel Corporation)	
A4	中尾温斗	2024 0719		京都大学大学院エネルギー科学研究科	nakao.haruto.78 r@st.kyoto- u.ac.jp
	Haruto NAKAO			Graduate School of Energy Science, Kyoto University	

注 1 本会論文誌は各著者による ORCID の登録を推奨しています。ご利用されない場合は未記入で構いません。<https://tetsutohagane.net/about/orcid>

No.	著者の名前(全員) ※和・英	会員 番号	ORCID iD 注 1	所属 ※和・英	E-Mail
A5	助永壮平	20050 567	0000- 0002- 9086- 2784	東北大学多元物質科学研究所	sohei.sukenaga. d3@tohoku.ac .jp
	Sohei SUKENAGA			Institute of Multidisciplinary Research for Advanced Materials, Tohoku University	
A6	柴田浩幸	19940 791	0000- 0002- 9965- 7285	東北大学多元物質科学研究所	hiroyuki.shibat a.e8@tohoku.ac .jp
	Hiroyuki SHIBATA			Institute of Multidisciplinary Research for Advanced Materials, Tohoku University	
A7					

1 **Abstract:**

2 The formation of secondary inclusions during the solidification process of molten steel is a
3 complex phenomenon triggered by microsegregation. Controlling the dispersion of secondary
4 inclusions in the solidified steel is an important issue that greatly affects the properties of the steel;
5 however, the distribution of inclusions after solidification does not always coincide with the
6 locations of inclusion formation. Therefore, it is still difficult to estimate when, where, and at what
7 supersaturation level inclusions crystallize in the liquid phase, and it is desirable to clarify their
8 formation behavior to control the dispersion of inclusions. In this study, we investigated the
9 formation process of inclusion using a ternary model material of succinonitrile-water-lumogen
10 yellow by in-situ observation, where the formation of oversaturated lumogen yellow can be
11 regarded as the inclusion formation. It was confirmed that the frequency of inclusion formation
12 increased significantly when the solution was held at lower temperatures, i.e., when a large
13 supersaturation ratio was given. The results of the formation frequency indicated that the formation
14 of inclusions occurred in the liquid phase according to the classical nucleation theory.

15

16

17 **Keywords:**

18 in-situ observation; microsegregation; secondary inclusion; solutal field; supersaturation;
19 succinonitrile.

20

21 1. 緒言

22 溶鋼の凝固過程における二次介在物の生成は、ミクロ偏析がきっかけとなり生じる¹⁾
23 ²⁾。ミクロ偏析の進行は液相線温度を低下させるため、凝固界面温度の低下をもたらし、
24 その結果、介在物の溶解度(積)が低下する。これに加え、ミクロ偏析の進行に伴い液相中
25 の溶質濃度が増大するため、介在物の溶解度を超えた場合に、ある確率で介在物の核生成
26 を生じる。このように二次介在物の生成は、そのきっかけこそ明白であるものの、種々の
27 複合的な要因の結果生じる複雑な現象と言える。凝固後の組織における二次介在物の分散
28 制御は、鋼材の特性を大きく左右する重要な課題であるため、凝固後の組織における介在
29 物のサイズおよび分散状態から、その生成挙動が検討されてきた³⁻¹¹⁾。しかし、凝固後の
30 介在物の分布は、必ずしも介在物の生成位置と一致するとは限らず、液相中でいつ、どこ
31 で、どの過飽和度で介在物が晶出したのかは推定の域を出ない。よって、介在物の分散制
32 御に向け、その生成挙動を明らかにすることが望まれている。

33 著者らは前報にて、一連の現象のきっかけであるミクロ偏析の進行過程をその場観察に
34 より明らかにする新規手法を提案した¹²⁾。本手法では、蛍光試薬であるルモゲンイエロー
35 を添加したサクシノニトリル系モデル合金における溶質(ルモゲンイエロー)濃度を蛍光イ
36 メージングにより定量評価することができる。凝固過程のミクロ偏析に由来して生じる溶
37 質濃度分布を定量的に評価したところ、一方向凝固時に整列した一次デンドライトアーム
38 の樹間中央における溶質濃度分布が沖合いから凝固組織内部に向けて S 字カーブを描くよ
39 うに上昇することを示した。また、溶質成分の平衡分配と固液各相における溶質拡散の進
40 行により、実測した溶質濃度分布が再現されることを明らかにした。本手法に用いるサク
41 シノニトリル-水-ルモゲンイエローの三元系におけるルモゲンイエローの溶解度(C_{LY}^{eq})
42 は次式で表される¹²⁾。

43 $C_{LY}^{eq}/\mu\text{mol L}^{-1} = 5.6908T/\text{K} - 22.508C_{\text{H}_2\text{O}}/\text{mass\%} - 1445.6$ (1)

44 よって、本系でミクロ偏析が進行すると、1) 液相線温度の低下による凝固界面温度の低
45 下および、2) 界面前方での水濃度の増加の両効果により、ルモゲンイエロー溶解度は減
46 少する。加えて、3) ルモゲンイエローの濃化も生じるため、凝固過程におけるミクロ偏

47 析の進行に伴いルモゲンイエローを未飽和から過飽和に転じさせることが可能である。こ
48 の過飽和によるルモゲンイエローの晶出は、冒頭で述べた二次介在物の晶出原理と同一で
49 ある。そこで、本研究ではルモゲンイエローを模擬介在物とみなし、その晶出挙動を蛍光
50 顕微鏡を用いたその場観察により明らかにすることを目的とした。さらに、ミクロ偏析に
51 より生じる種々の過飽和度における介在物の核生成頻度を評価し、古典的核生成理論を用
52 いてその挙動を検討した。

53

54 2. 実験原理および方法

55 顕微鏡で拡大した数百 μm 角程度の微小な視野内で介在物を核生成させ、その挙動をそ
56 の場観察により明らかにするには、核生成頻度の高い環境、すなわち、溶質濃度が飽和溶
57 解度を大きく上回る高過飽和な溶液を用いる必要がある。そこで、凝固開始前の保持温度
58 (353 K)において、わずかに未飽和となるよう調整したサクシノニトリル-1 mass% 水 -
59 $400 \mu\text{mol L}^{-1}$ ルモゲンイエロー溶液を用いることとした。同溶液を用いて凝固が進行した
60 際の溶質の濃化の程度を把握するため、Scheil の式¹³⁾を用いた凝固計算を行った。得られ
61 た結果を、ルモゲンイエローの過飽和比($\frac{C_{LY}}{C_{eq}}$)の固相率(f_s)依存性として表した関係を Figure
62 1(a)に示す。なお、水およびルモゲンイエローの平衡分配係数には、それぞれ 0.09¹⁴⁾およ
63 び 0.428¹²⁾を用いた。凝固開始時にはわずかに過飽和な程度であり、固相率の増加に伴い
64 過飽和比は徐々に増加し、固相率 0.6 では過飽和比は 2.2 となる。その後急激に増加し、
65 固相率 0.83 では過飽和比は 9.0 まで上昇する。前報¹²⁾ではデンドライト先端近傍における
66 ミクロ偏析の挙動を評価したことから、はじめに前報に倣い、サクシノニトリル-1
67 mass% 水 - $400 \mu\text{mol L}^{-1}$ ルモゲンイエロー溶液を凝固した際の過飽和比を検討した。前
68 報と同形状の固相の発達を想定し、溶質の平衡分配と固液各相での溶質拡散を考慮した数
69 値解析¹⁵⁾により予測したデンドライト先端近傍における溶質の過飽和比分布を Figure 1(b)
70 に示す。また、一次デンドライトアームの樹間中央での過飽和比の値を図中に示す。本評
71 価領域における固相率は 0.4 程度までであり、そこでの過飽和比はいずれの領域も 2 未満
72 であった。後述するように、予備実験により介在物の晶出を捉えるにはより大きな過飽和

73 比が必要であることがわかったことから、本研究では過飽和比が 2.5 を超えるようなより
74 低温の領域を定点観察することとした。

75 その場観察には共焦点スキャナユニット(CSU-W1, 横河電機(株))を備えた倒立型の蛍光
76 顕微鏡(IX83, (株)エビデント)を用いた。488 nm のレーザー光(60 mW)を落射式の励起光源
77 として使用し、蛍光波長 520(\pm 25) nm での蛍光観察を 20 倍の対物レンズ(NA0.60)を用い
78 て行った。撮影には sCMOS カメラ Zyla 4.2 (Andor、Oxford Instruments (株))を用い、露光
79 時間は 50 ms とした。本条件における観察視野は 332.8 μm × 332.8 μm であり、焦点深度は
80 20 μm である。観察時の試料近傍の模式図を Figure 2 に示す。溶液を封入したガラスセル
81 (溶液厚み 150 μm)を溶液保溫領域(353 K)からサファイア水冷ステージ上に水平に移動さ
82 せ、デンドライト成長を促した。ガラスヒーターからの伝熱によりサファイアステージに
83 は緩やかな温度勾配が存在するため、所定の温度領域を撮影できるよう観察視野を調整
84 し、同領域における一定温度での介在物の晶出挙動を、サファイア越しに観察した。ま
85 た、観察時の焦点深度と比べて溶液厚みが大きいことから、介在物の発生がどの高さで生
86 じたのかを特定するため Z スイープ撮影を 5 μm 刻みで行った。この Z スイープ撮影を 60
87 秒ごとに繰り返し行うことにより、介在物の数密度の時間変化を調査した。なお、本撮影
88 条件は、励起光源による退色の影響を最小限にしつつ、介在物の発生頻度の評価が可能に
89 なるよう考慮して決定したものであり、1 μm 以上のサイズの晶出物を捉えることができ
90 る。実験条件を Table 1 に示す。保持温度に至るまでの冷却速度に依存してデンドライト
91 アーム間隔を始めとする凝固形態が変化することから、前報と同程度の冷却速度である徐
92 冷(最大冷却速度: 0.69 K s^{-1})に加え、急冷(同: 2.3 K s^{-1})での冷却も行うこととした。
93 **なお、水冷ステージへの移動速度の調整により冷却速度を変化させており、赤外線カメラ**
94 **(T530、Teledyne FLIR LLC)を用いて測定した観察領域の温度から各条件での最大冷却速度**
95 **を算出した。**また、分解能の劣る光学条件において実施した予備検討により、ルモゲンイ
96 エローの過飽和比が 2.3 では介在物の晶出は観察されず、過飽和比が 3.1–4.6 の条件にお
97 いて観察視野内に数個～数十個の介在物の晶出が観測された。これを踏まえ、介在物の晶
98 出を幅広い過飽和比で観察すべく、**ステージ上の観察位置の調整により、各冷却条件につ**

き異なる 4 種類の保持温度での介在物の晶出挙動を調査することとした。Table 1 に示した各条件における溶質濃度は各溶質の平衡分配係数を用いて Scheil の式より求めた値である。急冷時の樹間でのルモゲンイエロー濃度を蛍光強度より実測したところ、平衡分配を仮定して予測される濃度と概ね一致したことから、ルモゲンイエローおよび水のいずれも本実験条件では平衡分配を生じたものとして整理した。本実験の実施範囲は Figure 1(a) の赤塗りの領域であり、固相率は 0.663–0.816、Scheil の式より計算されるルモゲンイエローの過飽和比は 2.63–6.64 である。また、核生成頻度は同一の条件でも実験ごとにばらつく可能性があることから、各条件につき 3 回以上の観察を行った。なお、観察領域の温度の測定には赤外線カメラ(T530、Teledyne FLIR LLC)を用い、各実験後に測定したガラスセル表面の温度を補正して実験温度とした。温度の補正や、試料溶液の作製については、前報¹²⁾を参照されたい。

110

111 3. 実験結果

112 3.1 介在物の晶出挙動

113 サクシノニトリル–1 mass% 水–400 $\mu\text{mol L}^{-1}$ ルモゲンイエローを冷却し、種々の過飽和条件で保持した際の蛍光観察像を Figure 3 に示す。低過飽和条件の(a)(b)においては、図中に矢印にて晶出物の位置を示した。各条件にて蛍光を発する晶出物が発生し、時間経過に伴い晶出物の数が増加することが確認された。高過飽和条件の(c)(d)では、図中の黄色枠内の拡大にて例を示すように保持後 60 s で既に晶出物が存在し、その後多数の晶出物が発生する様子が観察された。なお、背景に液相が存在する箇所ではルモゲンイエローの濃化により蛍光強度が非常に高く、晶出物は相対的に暗く観察されるが、いずれの晶出物も蛍光を発することを確認している。これらの晶出物はいずれも模擬介在物であるルモゲンイエローが過飽和な溶液から晶出したものと考えられる。殆どの介在物が観測されたのは、顕微鏡の焦点が溶液とガラスセルとの界面に一致する位置であった。これより、これらの介在物はガラスセル上での不均一核生成により発生したと推測された。本蛍光観察には反射光学系を採用していることから、高固相率の固液共存状態における内部の撮影が

125 容易でないことを考慮し、比較的高過飽和な条件において、透過光学系の明視野観察によ
126 り界面近傍と内部を観察した結果を Figure 4 に示す。なお、透過光学系の明視野観察像で
127 あるため、Figure 3 に示した蛍光観察像と異なり、非透過性の介在物は暗く映っている。
128 ガラスセル上には多数の介在物の晶出が認められ、溶液内部においても、わずかではある
129 が矢印にて示すように介在物が観測された。溶液内部の介在物は、ガラスセル上と比較し
130 1/100 以下の発生数であり、ごく少数であったことから、これらの発生は不均一核生成と
131 比べ発生確率の低い均一核生成によるものと推測される。本研究においては、蛍光観察に
132 より溶液内部での介在物の発生挙動を観察するには至らなかった一方、ガラスセル上での
133 不均一核生成には明確な過飽和依存性が認められ、時間の経過による晶出数の増大も確認
134 された。よって、以後の評価ではガラスセル上における介在物の発生挙動に着目する。

135 一連の実験により、介在物の晶出数は冷却条件には依存せず、マクロな過飽和比が同程
136 度であれば介在物の発生数は同程度であることがわかった。よって、デンドライト凝固に
137 より形成された各樹間に存在する液相中には過飽和比の分布のミクросケールでの違いは
138 存在するものの、各液相領域での溶質の拡散が比較的早いため、本実験の範囲では介在物
139 の晶出数には影響せず、マクロな過飽和比で介在物の晶出現象を整理できると考えられ
140 る。また、Figure 3(c)(d)における 1020 s 後の画像より、介在物は視野全域で確認されるも
141 のの、均一には分布しておらず、多く晶出した領域が線状に並んでいることがわかる。こ
142 れらの線状の領域は、凝固初期における液相領域、すなわち各条件での 60 s の画像にお
143 ける高輝度値の領域と一致している。よって、ミクロ偏析の進行により樹間には過飽和比
144 の高い液相が存在することから、同領域において高頻度に介在物の晶出を生じたことがわ
145 かった。

146 介在物の晶出挙動を核生成理論に基づき議論するためには、核生成時の介在物の形状を
147 把握する必要がある。生成する核のサイズは本研究に用いた共焦点レーザー蛍光顕微鏡の
148 分解能以下であるため、核生成時の形状は不明であるが、観測直後の介在物であれば、核
149 生成時に近い形状であったと推測される。そこで、Figure 3(c)の 60 s の画像中の赤色枠内
150 の拡大像を Figure 5 に示す。いずれの介在物も円形状に近い状態で確認され、最小で直径

151 1.0 μm の介在物が観測された。これより、ガラスセル上で、介在物はレンズ形状あるいは
152 円板状に不均一核生成したと推測される。その後、円形状の箇所を起点として放射状に、
153 針状の介在物が伸長してサイズが拡大する様子が確認された(Figure 3)。低過飽和の条件に
154 おいては、特にサイズの拡大が顕著であり、時間の経過に伴い徐々に拡大し、50 μm を超
155 す針状の晶出物が形成された。よって、過飽和条件の違いは、介在物の晶出頻度だけでは
156 なく、その後の介在物のサイズにも大きく寄与することが明らかになった。急冷後の 310 K
157 および 305 K での保持において観察された介在物の針状部分の長さの時間依存性を Figure
158 6 に示す。各条件において、長さは初期に大きく増大し、時間とともに徐々に成長速度が
159 低下することがわかった。このとき、310 K および 305 K でそれぞれ 240 s および 180 s
160 までは介在物の晶出数の増加が生じ、それ以降には介在物の個数は変化せず介在物のサイ
161 ズの拡大のみが確認された。よって、介在物の晶出および成長により液相中のルモゲンイ
162 エローが消費されるため、その濃度が徐々に低下し、成長の駆動力となる濃度差が小さく
163 なったことで、成長速度が徐々に低下したと考えられる。介在物の成長には液相中のル
164 モゲンイエローの拡散が関与すると推測されるが、詳細な成長機構を解明するためには液
165 相中の濃度の変化を踏まえた議論が必要である。

166

167 3.2 介在物の数密度

168 各過飽和条件で得られた数密度の時間依存性を Figure 7 に示す。なお、数密度は、観察
169 視野 ($332.8 \mu\text{m} \times 332.8 \mu\text{m}$) および焦点深度(20 μm)より計算される体積を用いて、介在物数
170 を除することで算出した。また、同一条件で 3 回以上の観察を行ったところ、介在物数の
171 増加の傾向は同じであるものの、晶出数にはばらつきが存在したことから、各条件につき
172 任意に選択した 1 回の観察結果を図に示した。介在物の数密度は、保持開始より一定の時
173 間内では徐々に増加し続け、その後は概ね一定であった。また、保持温度が低いほど、す
174 なわち、ルモゲンイエローの過飽和比が大きいほど数密度は顕著に増加した。各条件にお
175 いて、この増加時の傾きが核生成頻度に相当し、核発生および成長によりルモゲンイエロー
176 が消費され、その過飽和比が減少したことにより数密度が一定になったと考えられる。

177 また、両冷却条件において、過飽和比の最も大きな低温保持の条件では、数密度が最大値
178 を示した後に徐々に減少することが確認された。これは、晶出した介在物間の距離が近い
179 ため、オストワルド成長により微小なサイズの介在物が消滅し、大きな介在物が成長した
180 ためである。本研究では、介在物の晶出挙動に焦点を当てていることから、以降は各条件
181 において数密度が増大する領域での傾きから得られた核生成頻度に着目して解析を行つ
182 た。

183

184 4. 考察

185 4.1 古典的核生成理論における核生成頻度

186 半径 r の球形状の均一核生成における Gibbs エネルギー変化(ΔG_{hom})は、介在物の生成
187 および境界面の生成に伴う Gibbs エネルギー変化の総和として、以下のように示される。

188
$$\Delta G_{\text{hom}} = \frac{4}{3}\pi r^3 \Delta G_V(T) + 4\pi r^2 \sigma_{\text{SL}} \quad (2)$$

189 ただし、 $\Delta G_V(T)$ は温度 T での凝固により溶液から介在物が生成する際の単位体積あたり
190 の Gibbs エネルギー変化であり、 σ_{SL} は介在物-溶液間の界面エネルギーである。この場合
191 の核生成頻度(I_{hom})は次式で示される。

192
$$I_{\text{hom}} = I_0 \exp\left(-\frac{\Delta G_{\text{hom}}^*}{k_b T}\right) = I_0 \exp\left(-\frac{\frac{16\pi\sigma_{\text{SL}}^3}{3\Delta G_V(T)^2}}{k_b T}\right) = I_0 \exp\left[-\frac{16\pi\sigma_{\text{SL}}^3}{3\left\{-RT\ln\left(\frac{c_{\text{LY}}}{c_{\text{LY}}^{\text{eq}}}\right)/V_m\right\}^2 k_b T}\right] \quad (3)$$

193 なお、 I_0 は頻度因子、 k_b はボルツマン定数、 ΔG_{hom}^* は(2)式より求められるエネルギー障壁
194 の大きさ、 V_m はルモゲンイエローのモル体積($3.86 \times 10^{-4} \text{ m}^3 \text{ mol}^{-1}$)である。

195 一方本研究では、前項で述べたように、介在物は初期には円形状で観察され、その殆ど
196 がガラスセルと溶液界面に存在した。そこで、Figure 8 に示すような半径 r の球の一部か
197 ら成る凸レンズ状の介在物がガラスセル上で発生したと仮定した。この介在物の形状は r
198 および接触角 θ で表され、ガラス表面は平面とする。凸レンズ形状の介在物の体積を
199 V_s 、介在物-ガラス間の界面積および界面エネルギーを A_{SG} および σ_{SG} 、介在物-溶液間の
200 界面積および界面エネルギーを A_{SL} および σ_{SL} 、ガラス-溶液間の界面エネルギーを σ_{GL} と

201 すると、介在物の生成に伴う Gibbs エネルギーの変化($\Delta G_{\text{het}}(T, r, \theta)$)は、介在物の生成および
202 境界面の生成・消滅に伴う Gibbs エネルギー変化の総和として、以下のように示され
203 る。

$$204 \quad \Delta G_{\text{het}}(T, r, \theta) = V_s \Delta G_V(T) + A_{\text{SL}} \sigma_{\text{SL}} + A_{\text{SG}} (\sigma_{\text{SG}} - \sigma_{\text{GL}}) \quad (4)$$

205 この凸レンズ形状においては、以下の幾何学的関係が成立する。

$$206 \quad A_{\text{SG}} = \pi r^2 \sin^2 \theta = \pi r^2 (1 - \cos \theta) (1 + \cos \theta) \quad (5)$$

$$207 \quad A_{\text{SL}} = 2\pi r^2 (1 - \cos \theta) \quad (6)$$

$$208 \quad V_s = \frac{4}{3} \pi r^3 f(\theta) \quad (7)$$

209 ただし、

$$210 \quad f(\theta) = \frac{1}{4} (1 - \cos \theta)^2 (2 + \cos \theta) \quad (8)$$

211 である。また、三相界面における力の釣り合いとして、以下に示す Young の関係の成立を
212 仮定する。

$$213 \quad \sigma_{\text{GL}} = \sigma_{\text{SG}} + \sigma_{\text{SL}} \cos \theta \quad (9)$$

214 (5)–(9)式を用いると、この不均一核生成における Gibbs エネルギー変化の総和は次式のよ
215 うに表される。

$$216 \quad \Delta G_{\text{het}}(T, r, \theta) = \left(\frac{4}{3} \pi r^3 \Delta G_V(T) + 4\pi r^2 \sigma_{\text{SL}} \right) f(\theta) \quad (10)$$

217 すなわち、レンズ形状の不均一核生成時の Gibbs エネルギー変化は、球形状の均一核生成
218 時の $f(\theta)$ 倍となり、 θ に依存してエネルギー障壁の大きさ(ΔG_{het}^*)が変化する。よって、レ
219 ヌズ形状の不均一核生成の頻度(I_{het})は以下のように示される。

$$220 \quad I_{\text{het}} = I_0 \exp \left(-\frac{\Delta G_{\text{het}}^*}{k_b T} \right) = I_0 \exp \left(-\frac{\Delta G_{\text{hom}}^* f(\theta)}{k_b T} \right) = I_0 \exp \left[-\frac{16\pi \sigma_{\text{SL}}^3 f(\theta)}{3 \left\{ -RT \ln \left(\frac{c_{\text{LY}}}{c_{\text{eq}}^{\text{LY}}} \right) / V_m \right\}^2 k_b T} \right] \quad (11)$$

221 これより、古典的核生成理論に基づくと、凸レンズ形状の不均一核生成頻度は、球形状の
222 均一核生成と同様に、過飽和に関する変数を用いて下記のように示される。

$$223 \quad \ln I_{\text{het}} \propto -\frac{1}{\left\{ \ln \left(\frac{c_{\text{LY}}}{c_{\text{eq}}^{\text{LY}}} \right) \right\}^2 T^3} \quad (12)$$

224

225 **4.2 核生成頻度の評価**

226 その場観察により得られたルモゲンイエローの核生成頻度と、(12)式の右辺の関係を
 227 Figure 9 に示す。同一の条件でのやや大きなばらつきが見られるものの、核生成頻度は過
 228 鮫条件に応じて概ね直線的に変化することが確認された。また、保持開始前の冷却条件
 229 の違いは、核生成頻度には影響しないことが確認された。このことは、冷却速度の大きな
 230 凝固過程においても平衡分配でミクロ偏析が進行したことならびに、液相中の溶質の拡
 231 散が速いため溶質濃度の分布が比較的早期に解消され概ね一定の過飽和分布であったこと
 232 を示している。すべての条件での結果より、最小二乗法を用いて直線近似を行い、直線の
 233 傾き(m)を評価した。(11)および(12)式より、介在物-溶液間の界面エネルギー(σ_{SL})は、 m
 234 を用いて以下のように示される。

$$235 \quad \sigma_{SL} = \left(-\frac{3mR^2k_b}{16\pi V_m^2} \right)^{1/3} f(\theta)^{-1/3} \quad (13)$$

236 球状の均一核生成($\theta = 180^\circ$)を仮定した場合、傾き m から求められる介在物-溶液間の界面
 237 エネルギーは、 $\sigma_{SL} = 4.4 \times 10^{-3} \text{ N m}^{-1}$ であった。一方、実際には溶液内部と比べガラス上で
 238 の介在物の晶出が高頻度に発生したことから、 θ は比較的小さな値であったと推測され
 239 る。 θ により σ_{SL} がどの程度変化するかを検討した結果を Figure 10 に示す。 $\theta = 15^\circ$ であれ
 240 ば $\sigma_{SL} = 4.6 \times 10^{-2} \text{ N m}^{-1}$ 、 $\theta = 30^\circ$ であれば $\sigma_{SL} = 1.9 \times 10^{-2} \text{ N m}^{-1}$ 、 $\theta = 60^\circ$ であれば $\sigma_{SL} =$
 241 $8.1 \times 10^{-3} \text{ N m}^{-1}$ と推算され、比較的濡れ性が良い場合でも、界面エネルギーは小さな値で
 242 あることが分かった。本評価により推定された界面エネルギーの妥当性を検討するため、
 243 Table 2 に脂肪族化合物と水との界面エネルギーの報告値¹⁶⁾をまとめて示す。報告値は $(4-$
 244 $51) \times 10^{-3} \text{ N m}^{-1}$ であり、脂肪族化合物に親水基であるヒドロキシ基(-OH)が存在する場合に
 245 は界面エネルギーが $1 \times 10^{-2} \text{ N m}^{-1}$ 以下の低い値である¹⁶⁾。一方、Figure 10 中に示すよう
 246 に、本研究で用いた溶液の主成分であるサクシノニトリルはニトリル基(-CN)をもつ脂肪
 247 族化合物であり、介在物であるルモゲンイエローも同様にニトリル基を有する。官能基の
 248 類異性を考慮すると、その場観察の結果から得られた Figure 9 の近似直線の傾きより、両

249 者の界面エネルギーとして比較的小さな値が予想されたことは適当な結果と言える。した
250 がって、本研究において古典的核生成理論に基づき実施した介在物の晶出現象に関する議
251 論は妥当であったと結論づけられる。

252 以上より、模擬介在物であるルモゲンイエローは、ミクロ偏析の進行した液相において、古典的核生成理論に従って晶出し、その発生頻度は温度と溶質濃度によって決定される過飽和条件に依存して大きく変動することがわかった。

255

256 5. 結言

257 凝固過程におけるミクロ偏析に由来する二次介在物の生成挙動を明らかにするために、
258 サクシノニトリルを溶媒、水およびルモゲンイエローを溶質とする三元系**モデル材料**を用
259 いた凝固過程のその場観察を蛍光イメージングにより行った。2つの異なる冷却速度で凝
260 固を進行させ、その後一定温度での保持を行ったところ、以下の成果が得られた。

261 (1) サクシノニトリル-水-ルモゲンイエロー溶液からの凝固過程でのミクロ偏析により
262 模擬介在物であるルモゲンイエローが過飽和溶液から晶出する様子をその場観察する
263 ことに成功した。介在物の晶出頻度は、冷却速度には依存しなかつたことから、冷却
264 速度により変化する液相内でのミクロな過飽和比の分布の差は小さいことがわかつ
265 た。一方、介在物の晶出量はルモゲンイエローの過飽和比が大きいほど増加し、過飽
266 和な液相領域近傍から晶出することが明らかになった。

267 (2) 保持容器であるガラスセル上において、レンズ形状の不均一核生成が生じたと仮定
268 し、古典的核生成理論に基づいた評価を行った結果、核生成頻度の対数は過飽和比と
269 温度の関数に対して直線的に変化した。本相関より得られた介在物-溶液間の界面エ
270 ネルギーは、ガラスセル上でのルモゲンイエローの接触角が 15° 以上であれば 4.6×10^{-2}
271 $N m^{-1}$ 以下の比較的小さな値であった。サクシノニトリルとルモゲンイエローの官能
272 基の類似性より本結果を説明でき、古典的核生成理論による議論が妥当であったと結
273 論づけられた。以上より、介在物はミクロ偏析の進行した液相中において古典的核生
274 成理論に従って晶出し、その発生頻度は温度と溶質濃度により決定される過飽和条件

275 により大きく変動することが明らかになった。

276

277

278 **利益相反に関する宣言**

279 本論文に関して、開示すべき利益相反はない。

280

281 **謝辞**

282 本研究の一部は、日本鉄鋼協会「凝固過程の介在物生成・成長・変性機構」研究会、
283 「物質・デバイス領域共同研究拠点における共同研究」、第30回鉄鋼研究振興助成、製鋼
284 科学技術コンソーシアム研究助成、JSPS 科研費(JP23K23106)の支援により行われた。各
285 支援に感謝の意を表します。また、介在物のその場観察手法の開発にあたり有用なコメン
286 トをいただきました大阪大学 特任研究員 江阪久雄博士に謝意を表します。

287

288 **Nomenclature**

289 C_{LY}^{eq} : Solubility of lumogen yellow in liquid phase ($\mu\text{mol L}^{-1}$)

290 $C_{\text{H}_2\text{O}}$: Water concentration in liquid phase (mass%)

291 C_{LY} : Lumogen yellow concentration in liquid phase ($\mu\text{mol L}^{-1}$)

292 f_s : Fraction of solid (-)

293 r : Radius of spherical inclusion (m)

294 ΔG_{hom} : Gibbs energy change by homogeneous nucleation (J)

295 ΔG_{hom}^* : Energy barrier for homogeneous nucleation of inclusion (J)

296 ΔG_V : Gibbs energy change by formation of inclusion per unit volume (J m^{-3})

297 I_{hom} : Nucleation frequency by homogeneous nucleation (-)

298 I_0 : Pre-exponential factor for nucleation frequency (-)

299 V_m : Molar volume of lumogen yellow ($\text{m}^3 \text{ mol}^{-1}$)

300 θ : Contact angle of inclusion on glass ($^\circ$)

301 V_S : Volume of inclusion (m^3)
302 σ_{SL} : Interfacial energy between solid (inclusion) and liquid (solution) (N m^{-1})
303 σ_{SG} : Interfacial energy between solid (inclusion) and glass (N m^{-1})
304 σ_{GL} : Interfacial energy between glass and liquid (solution) (N m^{-1})
305 A_{SL} : Area between solid (inclusion) and liquid (solution) (m^2)
306 A_{SG} : Area between inclusion and glass (m^2)
307 ΔG_{het} : Gibbs energy change by heterogeneous nucleation (J)
308 ΔG_{het}^* : Energy barrier for homogeneous nucleation of inclusion (J)
309 I_{het} : Nucleation frequency by heterogeneous nucleation (-)

310

311 文献

- 312 1) S. Ji, Y. Ren and L. Zhang: *steel research international*, **94**(2023), 2200838.
313 <https://doi.org/10.1002/srin.202200838>
- 314 2) K. Oikawa, H. Otani, K. Ishida and T. Nishizawa: *Tetsu-to-Hagane*, **80**(1994), 623. (in
315 Japanese) https://doi.org/10.2355/tetsutohagane1955.80.8_623
- 316 3) S. Roy, S. Patra, S. Neogy, A. Laik, S. K. Choudhary and D. Chakrabarti: *Metallurgical
317 and Materials Transactions A*, **43**(2012), 1845. <https://doi.org/10.1007/s11661-011-1045-9>
- 318 4) M. H. Lee and J. H. Park: *Metallurgical and Materials Transactions B*, **49**(2018), 877.
319 <https://doi.org/10.1007/s11663-018-1218-7>
- 320 5) L. Wang, Z. L. Xue, Y. L. Chen and X. G. Bi: *Processes*, **8**(2020), 10.
321 <https://doi.org/10.3390/pr8010010>
- 322 6) Q. Shu, V.-V. Visuri, T. Alatarvas and T. Fabritius: *Metallurgical and Materials
323 Transactions B*, **51**(2020), 2905. <https://doi.org/10.1007/s11663-020-01955-0>
- 324 7) J. Fu, Q. Nie, W. Qiu, J. Liu and Y. Wu: *Mater. Charact.*, **133**(2017), 176.
325 <https://doi.org/10.1016/j.matchar.2017.10.001>
- 326 8) J. Liu, C. Liu, R. Bai, W. Wang, Q. Wang, H. Zhang and H. Ni: *Metallurgical and*

- 327 *Materials Transactions B*, **54**(2023), 685. <https://doi.org/10.1007/s11663-023-02718-3>
- 328 9) S. Fukumoto, Y. Sakaizawa, S. Kaneko and N. Ebihama: *Tetsu-to-Hagane* (2024), advance
329 online publication. (in Japanese) <https://doi.org/10.2355/tetsutohagane.TETSU-2024-083>
- 330 10) H. Goto, K.-i. Miyazawa, K.-i. Yamaguchi, S. Ogibayashi and K. Tanaka: *Tetsu-to-Hagane*,
331 **79**(1993), 1082. (in Japanese) https://doi.org/10.2355/tetsutohagane1955.79.9_1082
- 332 11) H. Goto, K.-i. Miyazawa, W. Yamada and K. Tanaka: *Tetsu-to-Hagane*, **80**(1994), 113. (in
333 Japanese) https://doi.org/10.2355/tetsutohagane1955.80.2_113
- 334 12) S. Kawanishi, S. Terashima, Y. Tsukahara, S. Sukenaga, H. Esaka and H. Shibata: *Tetsu-to-*
335 *Hagane* (2024), advance online publication. (in Japanese)
<https://doi.org/10.2355/tetsutohagane.TETSU-2024-098>
- 337 13) E. Scheil: *Z. Metallkd.*, **34**(1942), 70. (in German) <https://doi.org/10.1515/ijmr-1942-340303>
- 339 14) H. Esaka, H. Taniguchi, K. Shinozuka and M. Tamura: *Materials Transactions*, **46**(2005),
340 902. <https://doi.org/10.2320/matertrans.46.902>
- 341 15) T. Matsumya, H. Kajioka, S. Mizoguchi, Y. Ueshima and H. Esaka: *Transactions of the*
342 *Iron and Steel Institute of Japan*, **24**(1984), 873.
<https://doi.org/10.2355/isijinternational1966.24.873>
- 344 16) J. N. Israelachvili: *Intermolecular and Surface Forces*, Academic Press, Cambridge (2011),
345 p. 418. ISBN978-0-12-375182-9
- 346 17) J. E. Smith, D. O. Frazier and W. F. Kaukler: *Scripta Metallurgica*, **18**(1984), 677.
347 [https://doi.org/10.1016/0036-9748\(84\)90319-3](https://doi.org/10.1016/0036-9748(84)90319-3)
- 348
- 349

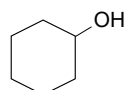
Table 1 Experimental conditions for in-situ observation of inclusion formation.

Cooling condition	Holding temperature, T / K	Fraction of solid ^{*1} , f_s	Water concentration ^{*2} , $C_{\text{H}_2\text{O}} / \text{mass\%}$	Lumogen Yellow concentration ^{*2} , $C_{\text{LY}} / \mu\text{mol L}^{-1}$	Supersaturation ratio, $\frac{C_{\text{LY}}}{C_{\text{LY}}^{\text{eq}}}$
Slow cooling (max 0.69 K s^{-1})	313	0.663	2.69	745	2.63
	307	0.747	3.49	878	3.77
	302	0.790	4.14	077	5.11
	299	0.810	4.53	1034	6.20
Rapid cooling (max 2.3 K s^{-1})	310	0.711	3.09	813	3.16
	305	0.766	3.75	918	4.25
	301	0.797	4.27	997	5.44
	298	0.816	4.66	1052	6.64

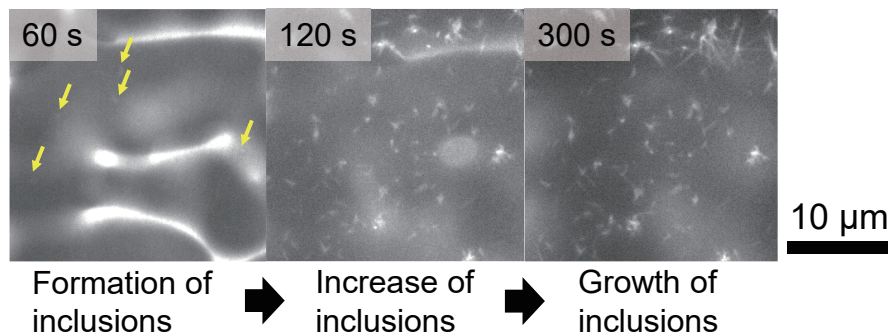
353 *1 f_s was calculated using liquidus slopes of $-6.1 \text{ K mass\%}^{-1}$ ¹⁷⁾ for water and $0 \text{ K } \mu\text{mol L}^{-1}$ ¹²⁾ for lumogen
354 yellow.

355 *2 Solute concentrations were estimated using Scheil's equation. Here, equilibrium partition coefficients
356 of $0.09^{14)}$ for water and $0.428^{12)}$ for lumogen yellow were used for calculation because equilibrium
357 partition of lumogen yellow was confirmed under the rapid cooling condition,

Table 2 Interfacial energy of aliphatic compounds to water at 293 K.

Aliphatic compound	Structure	Interfacial energy, $\sigma / \text{N m}^{-1}$
Cyclohexanol		4×10^{-3}
1-Undecanol		9×10^{-3}
Cyclohexane		5.1×10^{-2}
<i>n</i> -Octane		5.1×10^{-2}

301 K, supersaturation ratio = 5.44



Graphical Abstract

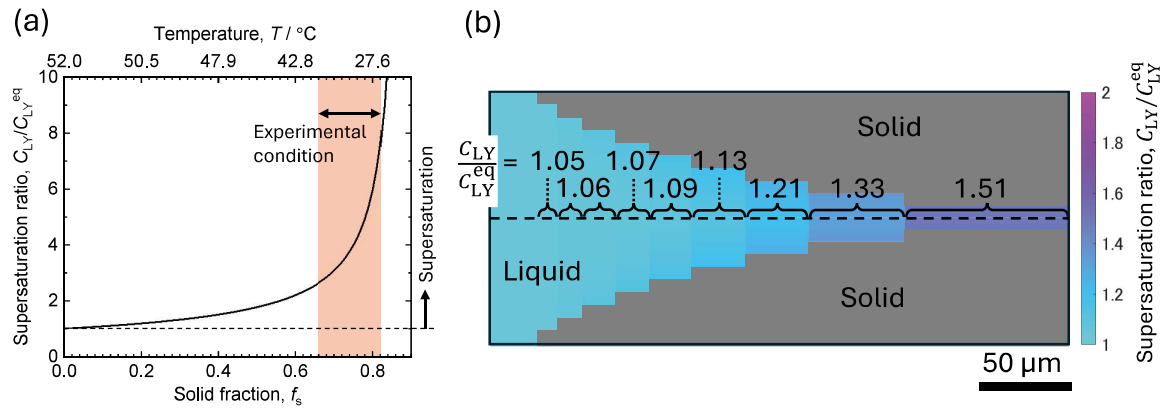


Fig. 1. (a) Relationship between supersaturation ratio of lumogen yellow and solid fraction of succinonitrile–1 mass% water–400 $\mu\text{mol L}^{-1}$ lumogen yellow calculated using Scheil's equation. (b) Colormap of supersaturation ratio of lumogen yellow around primary dendrite tip. Values of supersaturation ratio along the centerline of interdendritic region are shown in the figure.

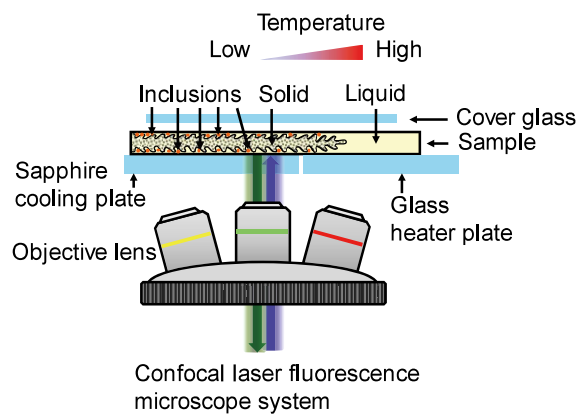


Fig. 2. Schematic of configuration of sample on a stage. (Color online)

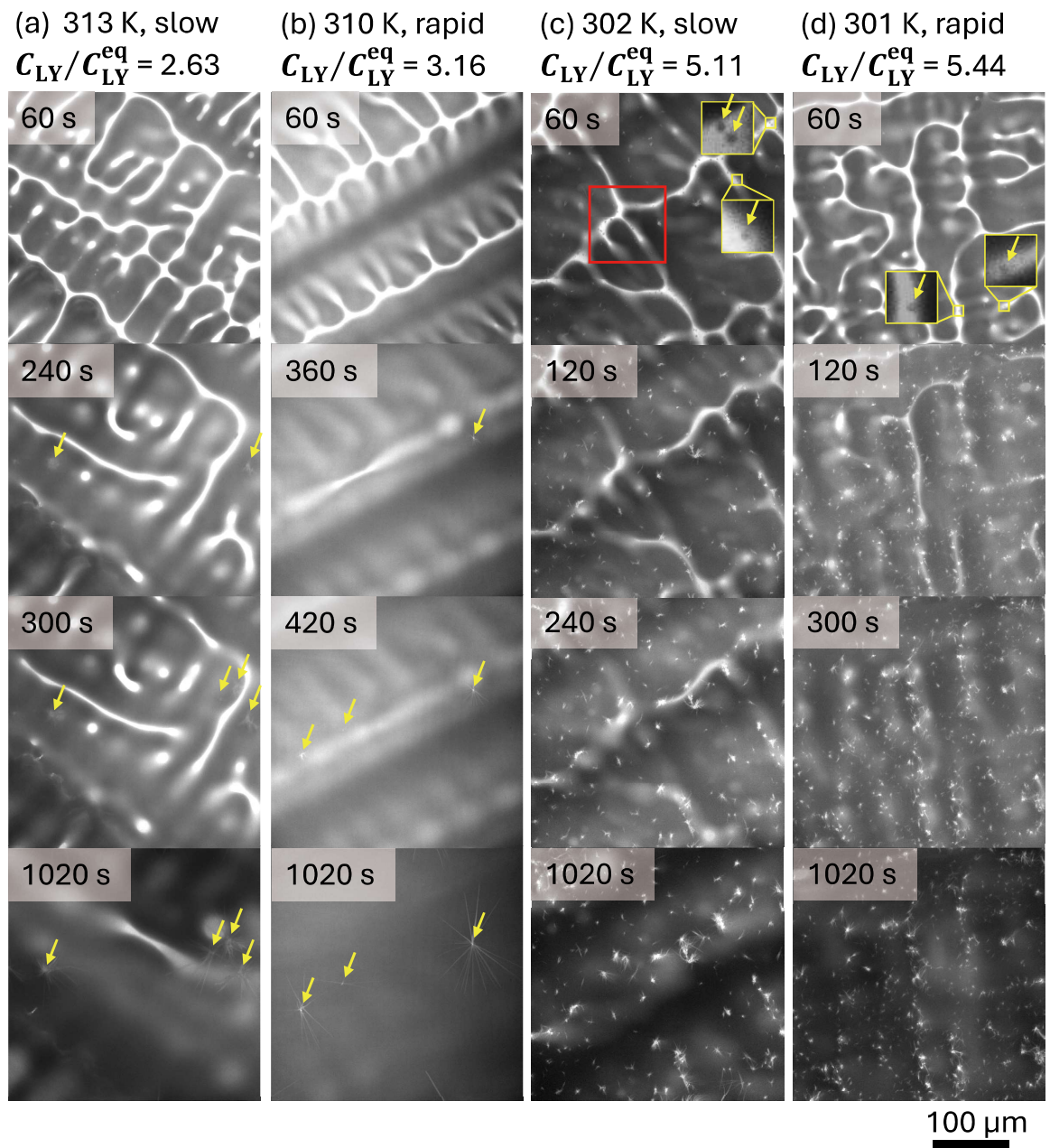


Fig. 3 Time evolution of inclusion formation behaviors during holding at various supersaturation conditions; (a) 313 K, (b) 310 K, (c) 302 K, and (d) 301 K. Descriptions of slow and rapid indicate the cooling rate before start of holding; max 0.69 K s^{-1} and max 2.3 K s^{-1} , respectively. Locations of inclusions in (a) and (b) are indicated by yellow arrow. (Color online)

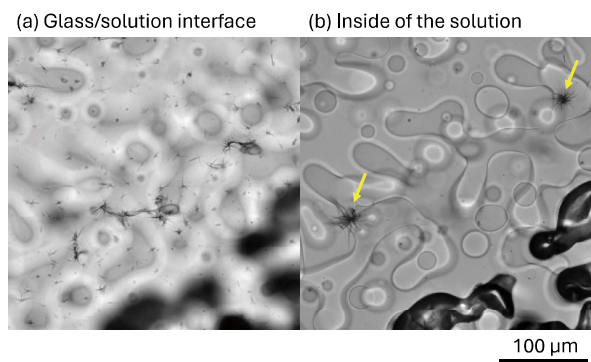


Fig. 4 Inclusions confirmed by bright-field image (a) on the glass cell and (b) inside the glass cell under holding at 302 K after slow cooling of max 0.69 K s^{-1} . (Color online)

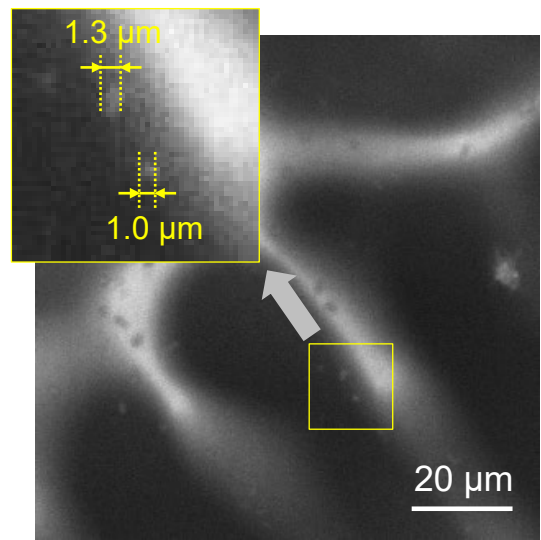


Fig. 5 Inclusions just after their formation. The image corresponds to the magnified view of red square in Fig. 3(c) at 60 s. (Color online)

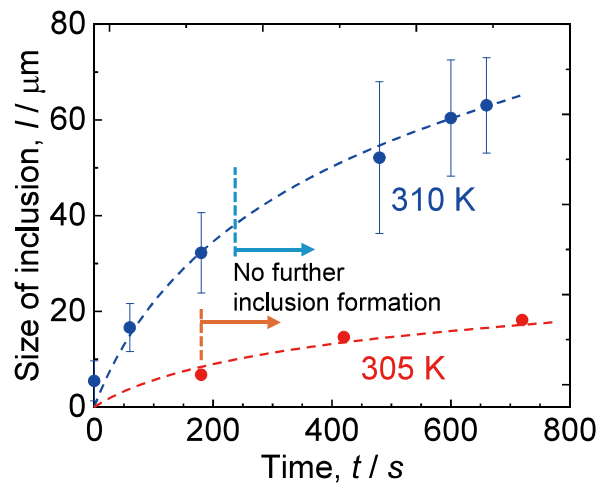


Fig. 6 Time dependence of size of inclusion. The length of the needle-shaped part from the center was measured. (Color online)

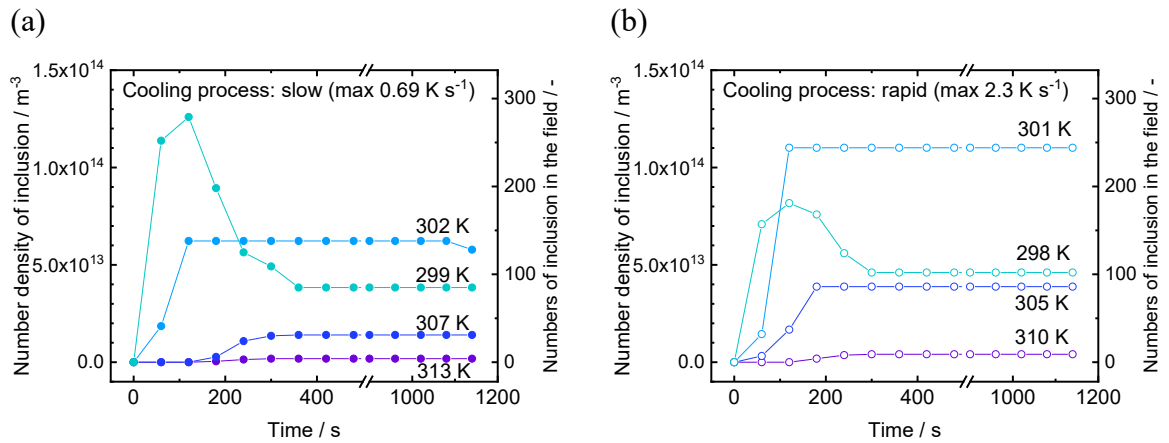


Fig. 7 Time dependence of number density of inclusion under various supersaturation conditions after cooling with (a) max 0.69 K s^{-1} and (b) max 2.3 K s^{-1} . (Color online)

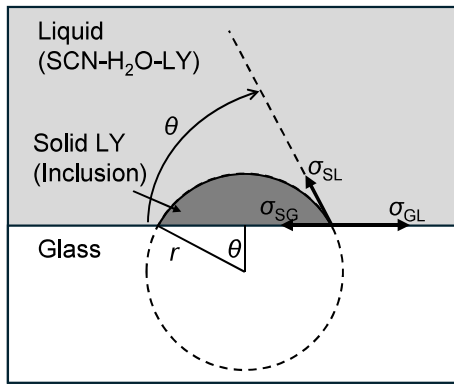


Fig. 8 Schematic image of inclusion on a glass cell.

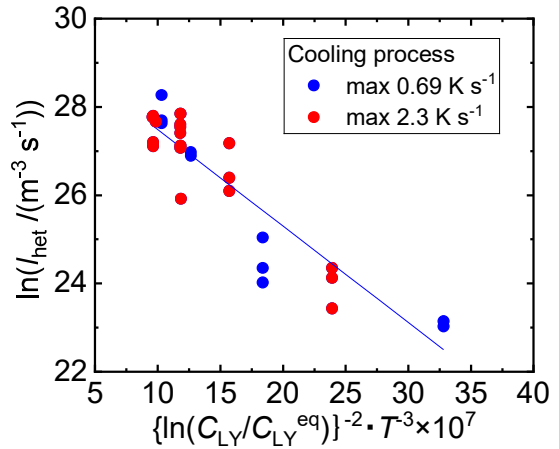


Fig. 9 Relationship between nucleation frequency and $\{\ln(C_{\text{LY}} / C_{\text{LY}}^{\text{eq}})\}^{-2} \cdot T^3$ (Color online)

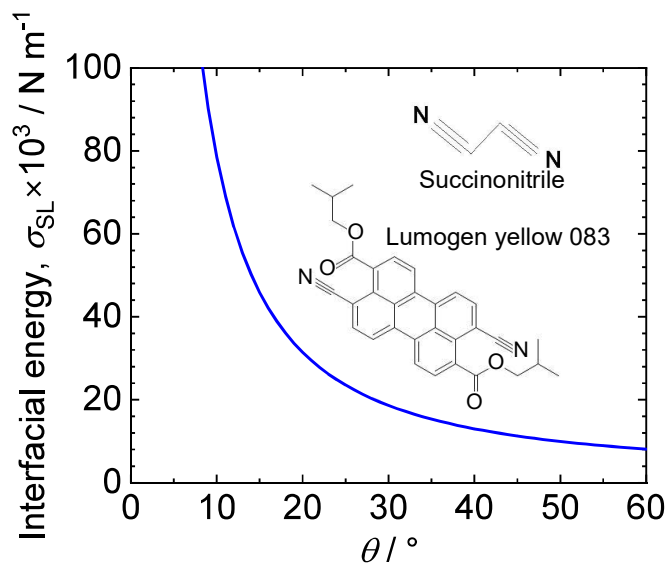


Fig. 10 Relationship between contact angle and estimated interfacial energy between inclusion and solution. Insets show molecular structures of succinonitrile (solvent) and lumogen yellow 083 (inclusion). (Color online)